

## تعيين معامل انزياح الضغط لخط امتصاص جزيء ثانٍ أوكسيد الكربون عند طول موجي محدد

منجد أصف عيسى<sup>1</sup>, سنان خالد الجلالي<sup>2</sup>

<sup>1</sup> طالب حاصل على درجة الماجستير في المعهد العالي لبحوث الليزر وتطبيقاته

[monged1.essa@damascusuniversity.edu.sy](mailto:monged1.essa@damascusuniversity.edu.sy)

<sup>2</sup> مدرس في المعهد العالي لبحوث الليزر امتصاص مطيافية الليزر

[sinanjalali@damascusuniversity.edu.sy](mailto:sinanjalali@damascusuniversity.edu.sy)

### الملخص:

جرى في هذا العمل دراسة تأثير الضغط على انزياح قمة خط امتصاص جزيء غاز ثانٍ أوكسيد الكربون المعرض بفعل التصادم عند طول موجي محدد من المجال تحت أحمر القريب

باعتماد منظومة طيفية تعتمد على الامتصاص المباشر . رسمت الخطوط البيانية المعبرة عن الانزياح الحاصل كتابع للضغط واستخلصت معاملات الانزياح في ثلاث حالات للتصادم: التصادم الذاتي ثم مع غاز التتروجين ثم مع غاز الأوكسجين، كانت النتائج ضمن المتوقع وتتفق مع الأدبيات العلمية.

تاريخ الإيداع: 2024/01/07

تاريخ الموافقة: 2024/09/29



حقوق النشر: جامعة دمشق -

سورية، يحتفظ المؤلفون بحقوق

النشر بموجب الترخيص

CC BY-NC-SA 04

**الكلمات المفتاحية:** مطيافية الليزر، الامتصاص المباشر، المسار الضوئي الطويل، خط الامتصاص، الضغط، تصادم الجزيئات، إزاحة الخط الطيفي.

## Determining the pressure shift coefficient for carbon dioxide absorption line at a specific wavelength

**Monged Asef Essa<sup>1</sup>, Sinan Khaled ALjalali<sup>2</sup>**

<sup>1</sup> A student holding a master's degree at the Higher Institute for Laser Research and its Applications [monged1.essa@damascusuniversity.edu.sy](mailto:monged1.essa@damascusuniversity.edu.sy)

<sup>2</sup> Higher Institute for Laser Research, specializing in laser spectroscopy  
[sinanjalali@damascusuniversity.edu.sy](mailto:sinanjalali@damascusuniversity.edu.sy)

### Abstract:

Received :2024/01/07

Accepted:2024/09/29



Copyright: Damascus University- Syria, The authors retain the copyright under a CC BY- NC-SA

In this work, the effect of pressure on the shift of the carbon dioxide absorption peak exposed to collision at a specific wavelength in the near infrared range was studied using a spectroscopic system based on direct absorption. The graphs expressing the resulting shift as a function of pressure were drawn and the shift coefficients were extracted in three collision cases: self-collision, with nitrogen gas, and with oxygen gas. The results were within expectations and were consistent with the literature.

**Keywords:** Laser spectroscopy, Direct absorption, Long optical path, Absorption line, Pressure, Particle collision, Spectral line shift.

## ١. المقدمة:

يملك كل جزيء طيف امتصاص خاص به يعتبر بمثابة البصمة التي تميزه، يمكن استخدام هذا الطيف لدراسة خواص الجزيء والكشف عن وجوده في وسط ما، ومعرفة تركيزه إن وجد. يمكن تمييز الخطوط الطيفية لكل جزيء والعمل عند خط وحد باستخدام المنابع الليزرية، لما يتصف به الإصدار الليزري من استقرار عرض طيفي ضيق إضافة للدقة والانتقائية العالية في القياسات.

تخضع خطوط الامتصاص لعدة مؤثرات تؤدي إلى زيادة عرض الخط الطيفي بما يدعى التعريض الطيفي أو إزاحة قمة الخط الطيفي بما يدعى الانزياح الطيفي وقد يظهر كلا التأثيرين بنفس الوقت.

تساهم العديد من الآليات في تعريض الخطوط الطيفية يمكن تخفيف أثر بعضها بتعديل بعض الشروط، كالتصادم مع الأنواع المضطربة (يسمى تعريض التصادم أو تعريض الضغط) وأثر دوبلر (يسمى تعريض دوبلر)، بعضها الآخر ناشئ عن الخواص الأساسية للمادة لا يمكن تغييره، كالتحلل الإشعاعي (يسمى زمن الحياة أو التعرض الطبيعي). تتأثر الخطوط الطيفية ببعض أو جميع تلك المؤثرات بنفس الوقت [1].

يصنف التعريض الطيفي إلى نوعين أساسين:

- التعريض المتجانس: ينتج عن التعريض الطبيعي أو التصادم الذاتي بين الجزيئات المتماثلة [2]، فتفاصل جميع الجزيئات مع الضوء بنفس الطريقة، ويمثل شكل الخط الطيفي بالتتابع اللورنتزي [3].

- التعريض غير المتجانس: ينتج عن أثر دوبلر أو عدم تجانس الوسط، فيختلف التفاعل مع الضوء من جزيء إلى آخر، أو من مجموعة جزيئات إلى أخرى، ويمثل بتتابع غاوسي [3].

يُعرَّف تعريض الضغط أو التعريض التصادمي، بأنه تداخل أو اضطراب الخطوط الطيفية بسبب الضغط المطبق على عينة غازية تحوي مجموعة من الجسيمات سواء كانت ذرات أو جزيئات [4]، في حال غياب التصادمات مع جسيمات غريبة (الغازات المحمدة) (Bluffer gas) فإن تلك الجسيمات تمتلك وتتصدر الإشعاع الذي يتأثر فقط بالتعرض الطبيعي أو تعرض دوبلر [5] ، بينما تخضع نفس الجسيمات بوجود جسيمات أخرى لتعريض إضافي وانزياح في مركز الخط الطيفي، وبزيادة الضغط يزداد مدى هذا التأثير [6]، يعطي عرض الخط المعرض بالضغط بالعلاقة:

$$\Delta v_L = 2 \cdot P \cdot \gamma_s \cdot \chi + 2 \cdot P \cdot \gamma_f \cdot (1 - \chi) \quad (1)$$

P الضغط الكلي المطبق على العينة.

X الكسر المولي للمادة الممتدة.

$\gamma_s$  معامل التوسیع الذاتي.

$\gamma_f$  معامل التعريض للجسيم الغريب (الغاز المحمد). يعتمد المعاملين السابقين على درجة حرارة الغاز [7]. ينتج عن تركيب التابعين الغاوسي واللورنتزي تابع جديد يدعى تابع فوجيت Voigt يعطى بالعلاقة:

$$I(\omega) = C \int_0^{\infty} \frac{\exp\left\{-\left[\left(\frac{c}{v_p}\right)(\omega_0 - \omega')\right]^2\right\}}{(\omega - \omega')^2 + \left(\frac{\gamma}{2}\right)^2} d\omega \quad (2)$$

حيث  $C$ : ثابت يتاسب مع سرعة الضوء.

اقتراب الجسيم A ذات مستوى الطاقة  $E_k$  و  $E_l$  من جسيم آخر B ذرة أو جزيء، يسبب إزاحة السويات الطافية لكلا الجسيمين ، يعتمد الانزياح على التوزيع الإلكتروني للطبقة السطحية لشريكي الاصطدام A و B وعلى المستويات الطافية لكل منها وعلى

المسافة بين مركزي الجسيمين [5] ، تعبر المسافة  $R_c$  عن نصف قطر الاصطدام أي المسافة التي يصبح عندها التفاعل بين شريكي الاصطدام ملحوظاً ومؤثراً، ونعرف مدة(زمن) الاصطدام بالعلاقة:

$$\tau_{\text{coll}} = \frac{R_c}{v} \quad (3)$$

تعتمد المسافة  $R_c$  على ضغط الغاز ودرجة حرارته، ويمكن حساب الانزياح التصادمي من العلاقة التالية:

$$\Delta v = v'_0 - v_0 \quad (4)$$

$v'$  هو الموقع الجديد للتردد المركزي.

يعتمد الانزياح  $\Delta v$  على مدى اختلاف إزاحة السوبيتين الطيفيتين  $E_i$  و  $E_k$  الذي يتعلق بدوره بقيم الطاقات الداخلية (الاهتزازية والدورانية)  $E_A, E_B$  لكل من شركاء الاصطدام [5].

يختلف مقدار الانزياح الطيفي بنوع التصادمات فمن أجل التصادمات الخفيفة (soft collision)، تكون زاوية التشتت  $\theta$  صغيرة، وبالتالي يكون الانزياح  $\Delta E$  لمستويات طاقة A أو B أثناء الاصطدام صغير، فإذا امتص أحد شركاء الاصطدام أو أطلق إشعاعاً أثناء تصادم ناعم يتغير توزع تواتره بشكل طفيف فقط من خلال التفاعل بين A و B ، أي أن تأثير الاصطدامات الناعمة يلاحظ في نواة الخط الطيفي المعرض بالاصطدام، أي في النطاق الطيفي حول نواة الخط (line kernel) ، بالنسبة للتصادمات القاسية (hard collision) تكون إزاحة المستوى  $\Delta E$  أثناء التصادم أكبر، وبالتالي فإن الاصطدامات القاسية يظهر أثرها على شكل الأجنحة الخطية (line wings) [6].

درس في هذا العمل تأثير الضغط (التعريض التصادمي) على انزياح خط امتصاص غاز ثانـي أوكـسـيدـ الكـرـبـونـ عندـ الطـولـ المـوجـيـ 1639.67 nm، صادر عن ليزر نصف ناـقلـ قـابلـ للـتـولـيفـ يـعـملـ ضـمـنـ المـجـالـ تـحـ أحـمـرـ القـرـيبـ NIRـ، اـعـتـمـادـاـ عـلـىـ مـطـيـافـيـةـ الـامـتـصـاصـ الـمـباـشـرـ معـ المـسـارـ الضـوـئـيـ الطـوـيلـ، بـسـبـبـ الـأـهـمـيـةـ الـمـتـزاـيدـ لـغـازـ ثـانـيـ أـوكـسـيدـ الكـرـبـونـ فـيـ التـغـيـرـاتـ الـمـناـخـيـةـ وـمـرـاقـبةـ الـمـلـوـثـاتـ الـبـيـئـيـةـ إـضـافـةـ لـأـهـمـيـتـهـ فـيـ التـطـبـيقـاتـ الـبـيـولـوـجـيـةـ وـالـطـبـيـةـ.

تعتمد مطيافية الامتصاص المباشر (DAS) Direct Absorption Spectroscopy في العديد من المجالات والتطبيقات بسبب مزاياها التي لا يمكن الاستغناء عنها مثل الحساسية الجيدة، والانتقائية العالية، وتتفذ بمعدات تجريبية غير معقدة خالية من المعايرة بدقة زمنية عالية [8-10]. قامت العديد من الأبحاث التي اهتمت بدراسة تأثير الضغط على الخطوط الطيفية لمعظم جزيئات الغازات تقطاطع تلك الأبحاث في دراسة كل من التعريض والازاحة الناتجين عن الضغط و الحرارة أحدهما أو كليهما على الخطوط الطيفية سواء من ناحية عرض الخط الطيفي أو الانزياح الناتج عن الضغط، بينما تختلف تلك الدراسات عن بعضها من حيث الطول الموجي، نوع جزيء الغاز المدروس، نوع جزيئات الغازات المحمدة، والمنظومة الطيفية المستخدمة في الدراسة ولوحظ في جميع تلك الدراسات وجود زيادة خطية في كلاً من عرض وانزياح الخط الطيفي بزيادة الضغط [11-22]..

يعتبر هذا العمل جزء من أطروحة ماجستير دراسات عليا أعدت في مخبر مطيافية الليزر في المعهد العالي لبحوث الليزر وتطبيقاته [23].

## 2. الإجراء التجريبي:

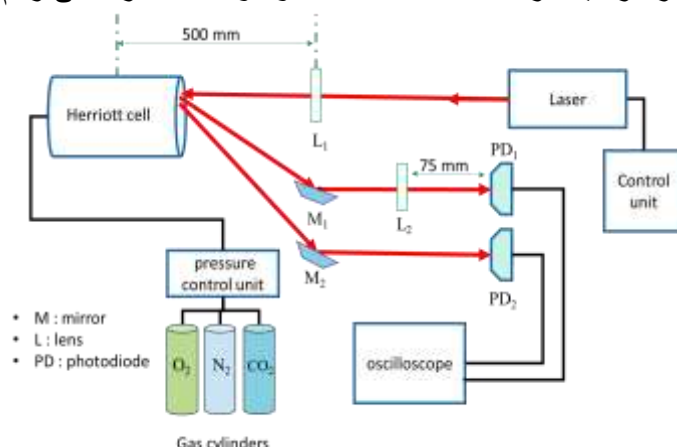
يهدف هذا العمل لحساب معاملات الانزياح الطيفي لقمة خط الامتصاص لجزيء ثانـيـ أـوكـسـيدـ الكـرـبـونـ عندـ الطـولـ المـوجـيـ 1639.67 nm، في ثلاثة حالات:

- حالة التصادم الذاتي ( $\text{CO}_2-\text{CO}_2$ ).
- حالة التصادم مع غاز النتروجين ( $\text{CO}_2-\text{N}_2$ ).
- حالة التصادم مع غاز الأوكسجين ( $\text{CO}_2-\text{O}_2$ ).

عند قيم الضغط الكلي التالية mbar (100-200-300-400-500-600-700-800-900-1000) للمزيج الغازي، باعتماد مطيافية الامتصاص المباشر، واستخدم منظومة قياس مكونة من الأجهزة التالية:

1. ليزر نصف ناقل قابل للتوصيف يعمل في مجال الأطول الموجية nm [1566 - 1647] باستطاعة أعظمية تبلغ 10 mW.
2. خلية امتصاص نمط هيروت بمسار ضوئي m 30، وضغط التشغيل بإحدى القيم ضمن المجال:  $[1.333 \times 10^{-6} - 1.01325]$  bar
3. موحد طول الموجة MS7504i وفق التصميم Czerny-Tuner، مزود بمضاعف فوتوني (PMT) من Hamamatsu.
4. كاشف فوتوني (PbS) من Thorlabs.
5. مقاييس ضغط ومضخة تخلية مناسبين وراسم إشارة.
6. مداخل فابري بيرو بمجال طيفي مباشر FSR = 1 GHz.

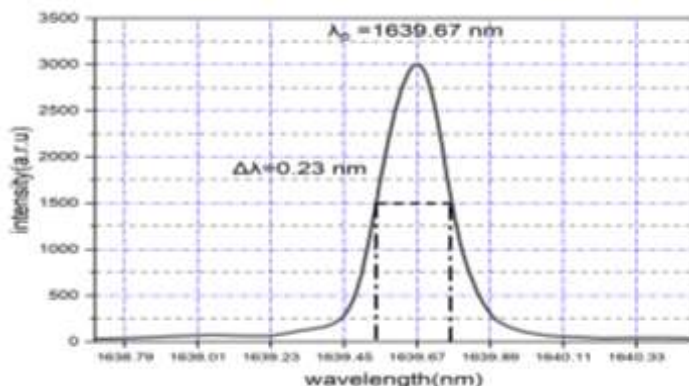
يبين الشكل (1) المخطط البصري لمنظومة الامتصاص المباشر المعتمدة في هذا العمل، توجه حزمة الليزر الصادرة إلى نافذة الدخول في الخلية متعددة المسار فتعكس داخل الخلية 74 مرة لتتفاوت أيضاً من نافذة الدخول فيبلغ مسار الامتصاص الضوئي 30m ، ثُبأر الحزمة الواردة في منتصف الخلية بعدسة L1 بعدها المحرقي 500 mm 500 mm كما ثُبأر الحزمة النافذة على المنطقة الحساسة للكاشف الضوئي بعدسة L2 بعدها المحرقي 75mm ، لظهور الإشارات المستهدفة على راسم الإشارة، يتم اعتماد الشعاع المنعكсы عن نافذة الدخول كإشارة مرجعية، ترصد بالكاشف PD2 الموصول بقناة أخرى على راسم الإشارة.



الشكل (1) منظومة الامتصاص المباشر المعتمدة في العمل

يتم ضبط ومراقبة الضغط داخل الخلية من خلال مضخة تخلية ومقاييس ضغط مناسبين، تعالج الطيف المسجلة باستخدام برنامج (origin).

يستخدم موحد الطول الموجي لضبط طول موجة خرج الليزر عند الطول الموجي 1639.67nm من خلال التحكم بشدة تيار حقن الشريحة الليزرية وكمون الـ PZT (بلورة كهروضوئية) مع تثبيت درجة حرارة الشريحة عند الدرجة 19°C، يوضح الشكل (2) طيف الليزر عند الطول الموجي 1639.67nm بعرض FWHM = 0.23 nm يُعدل طول موجة الخرج بشكل أولي بمطالع 136 V وتوانتر 11 Hz

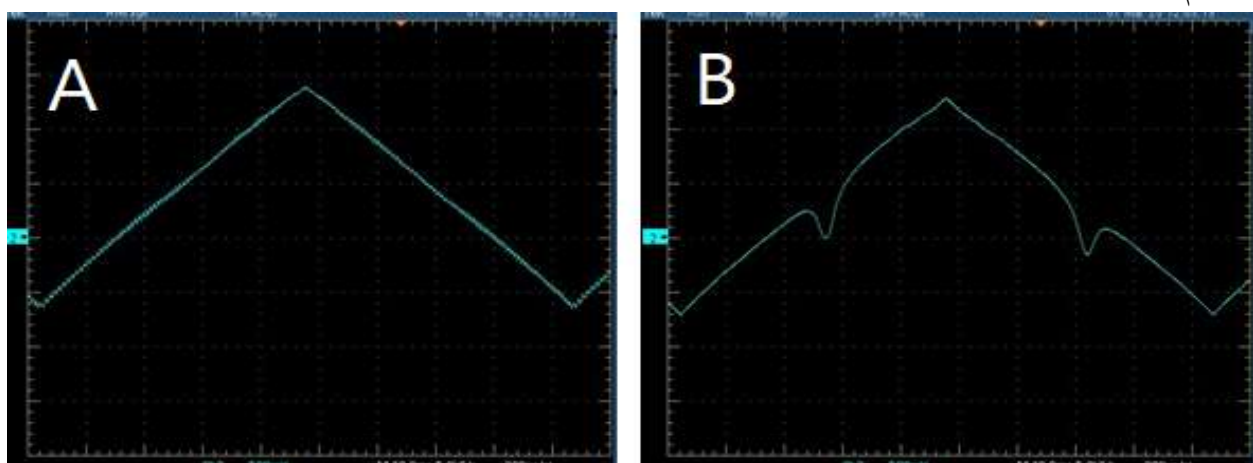


الشكل (2) طيف الليزر عند الطول الموجي 1639.67 nm

تجدر الإشارة إلى أن جزيئات  $\text{CO}_2$  فقط دون جزيئات غازي  $\text{N}_2$  و  $\text{O}_2$  تمتض فوتونات الطول الموجي المعتمد.

### 3. النتائج والمناقشة:

ترغب الخلية وتضخ بغاز التتروجين عدة مرات، لضمان خلوها من غاز ثاني أوكسيد الكربون، ببين الشكل (A-3) طيف الإشارة النافذة من الخلية، يلاحظ عدم وجود إشارة امتصاص ما يؤكد خلوها من أي جزيئات يمكن أن تمتض فوتونات الطول الموجي المستخدم.



الشكل (3): الإشارة النافذة

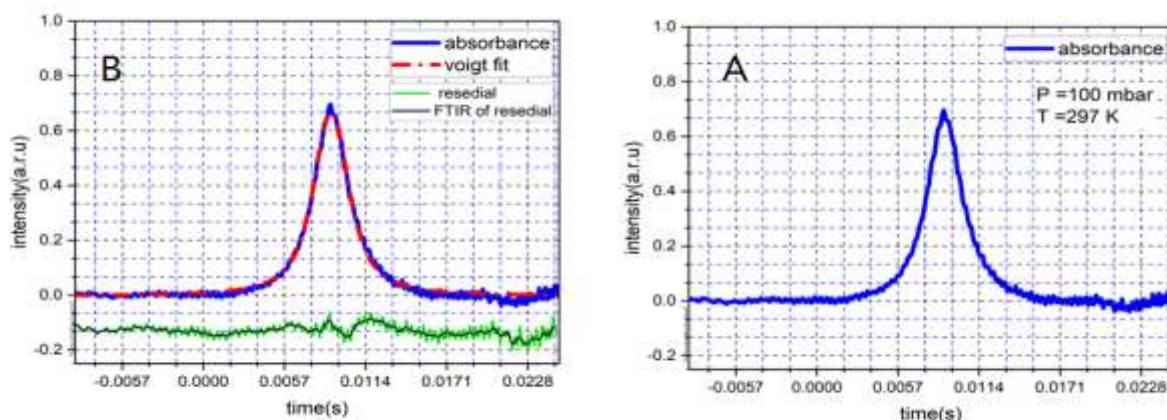
(A) الخلية مليئة بغاز  $\text{N}_2$ , (B) الخلية مليئة بغاز  $\text{CO}_2$  بضغط قدره 100 mbar

ثم تملأ الخلية بكمية ثابتة من غاز ثاني أوكسيد الكربون بتركيز ثابت 99.99%، وضغط 100 mbar، فيلاحظ خط الامتصاص في الإشارة النافذة الشكل (3-B)، الامر الذي يدل على قدرة المنظومة على كشف خط الامتصاص. يُستنتج منحنى الامتصاصية بالاستفادة من قانون بير لامبرت:

$$A = -\ln \frac{I}{I_0} \quad (5)$$

حيث  $I_0$ : شدة الأشعة الواردة،  $I$ : شدة الأشعة النافذة.

يواهم (Fitting) منحنى الامتصاصية معتابع فوجت الذي يوصف خط الامتصاص عند الضغوط المتوسطة، ببين الشكل (4) منحنى الامتصاصية وموائمته معتابع فوجت.



الشكل (4): A منحي الامتصاصية (B) موائمة منحي الامتصاصية مع تابع Voigt 100 mbar عند ضغط

جرت دراسة الانزياح الطيفي لخط الامتصاص في حالات التصادم الثلاث المشار إليها سابقاً، وفق الخطوات التالية:

- تفرغ الخلية عدة مرات باستعمال مضخة التخلية.

- تملأ الخلية بكمية ثابتة من غاز  $\text{CO}_2$  ثانى أوكسيد الكربون بتركيز ثابت 99.99%، وضغط جزئي قدره 100 mbar.

- تضاف تدريجياً كميات ثابتة من غازات  $\text{CO}_2$  أو  $\text{O}_2$  أو  $\text{N}_2$  كلاً على حدى بتركيز ثابت 99.99% لكل منها، بحيث يكون

- ضغط المزيج الغازي الكلي عند إحدى القيم: (1000-900-800-700-600-500-400-300-200-100) mbar، الامر الذي يحقق التصادم الذاتي أو مع الغاز المحمد ( $\text{N}_2$  أو  $\text{O}_2$ ).

- تسجل الاطياف الموافقة لكل قيمة من الضغوط العشرة، في كل حالة من حالات التصادم.

- يستنتج منحي الامتصاصية لكل خط امتصاص عند كل قيمة للضغط.

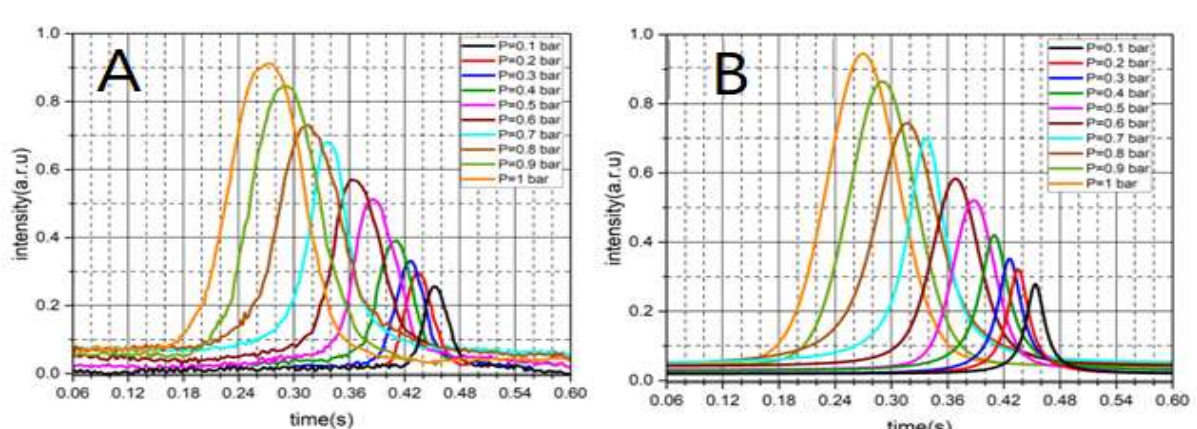
- يوائم منحي الامتصاصية مع تابع فوجت، الذي يوصف خط الامتصاص عند الضغوط المتوسطة.

- رسم تغيرات إزاحة الخط الطيفي بتتابعية الضغط.

#### 4. مقارنة النتائج.

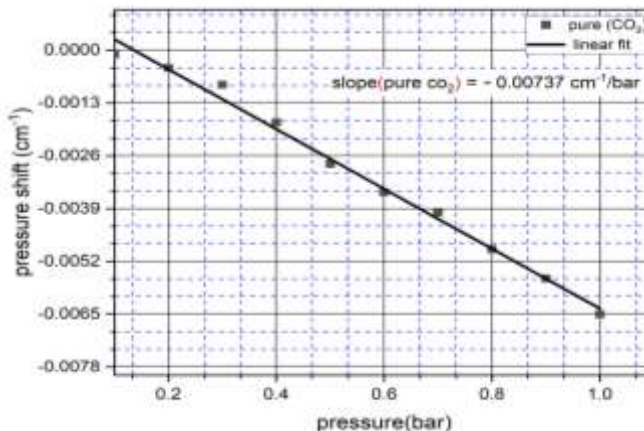
##### • حالة التصادم الذاتي ( $\text{CO}_2-\text{CO}_2$ ):

يبين الشكل (5A) خطوط الامتصاص الموافقة لقيم الضغط المختلفة وموائمتها مع تابع فوجت شكل (5B)، فيظهر بشكل واضح كلًّا من انزياح قمة خط الامتصاص (العدد الموجي المركزي)، وزيادة عرض الخط الطيفي عند منتصف الشدة العظمى بشكل يتتناسب مع زيادة الضغط، الأمر الذي يوافق الأدبيات العلمية. كما يلاحظ زيادة مطال خط الامتصاص بسبب زيادة تركيز جزيئات غاز ثانى أوكسيد الكربون التي تمتض فوتونات الطول الموجي المستخدم.



الشكل (5): خطوط امتصاص  $\text{CO}_2$  دون وجود غاز محدد عند ضغوط مختلفة  
A خطوط الامتصاص الموائمة معتابع فوجيت Voigt

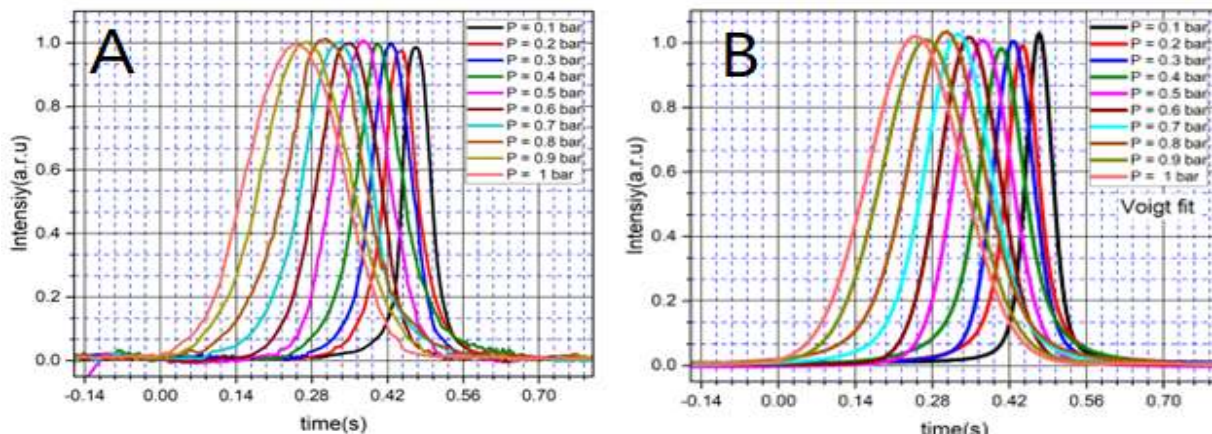
يبلغ ميل المنحني البياني في الشكل (6) المعبر عن تغيرات انزياح قمة خط الامتصاص بدلالة (بتابعية) الضغط القيمة:  
 $S_p(\text{CO}_2) = -0.00737 \text{ cm}^{-1}/\text{bar}$



الشكل(6) تغيرات انزياح قمة خط الامتصاص بتابعية الضغط دون وجود غاز محدد

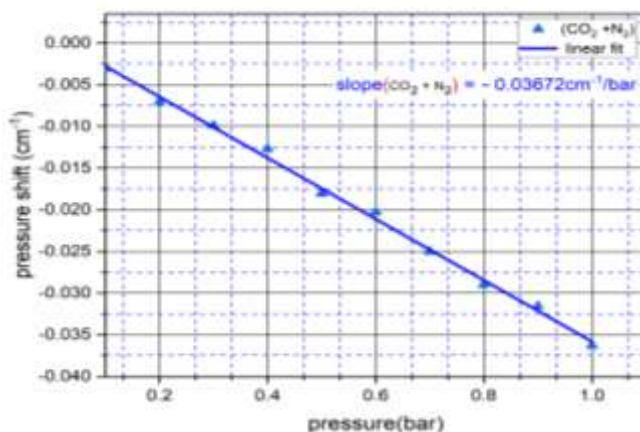
#### • حالة التصادم مع غاز النتروجين ( $\text{CO}_2-\text{N}_2$ ):

يظهر بشكل واضح في الشكل (7) أيضاً كلاً من انزياح قمة خط الامتصاص، وزيادة عرض الخط الطيفي عند منتصف الشدة العظمى FWHM بشكل يتناسب مع زيادة الضغط، لكن مع ثبات مطال الامتصاص، لثبات تركيز جزيئات غاز ثاني أوكسيد الكربون التي تمتص وحدتها فوتونات الطول الموجي المستخدم.



الشكل (7): A خطوط الامتصاص الموافقة لنقيم للضغط الكلي بوجود النتروجين كغاز محدد  
B خطوط الامتصاص الموائمة معتابع فوجيت Voigt

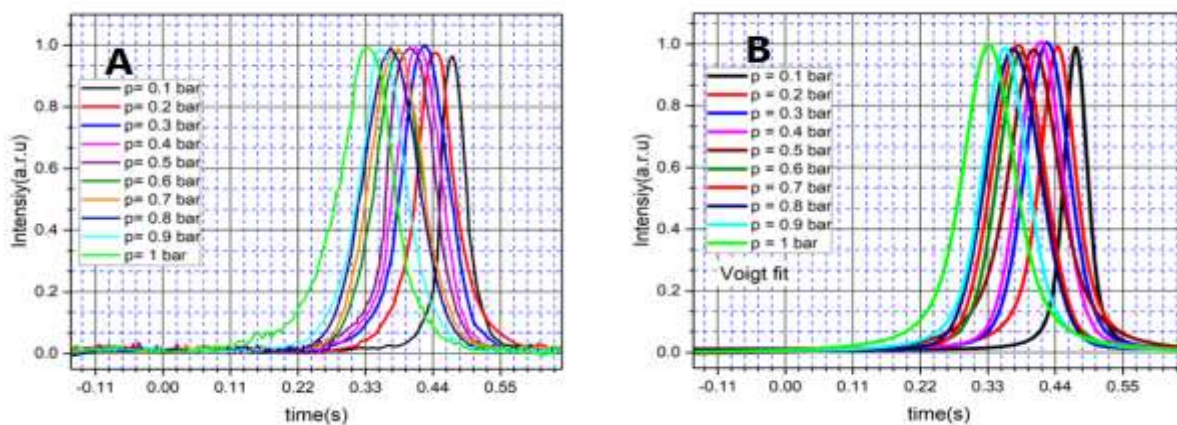
يبلغ ميل المنحني البياني في الشكل (8) المعبر عن تغير انزياح قمة خط الامتصاص بدلالة الضغط ويوجد النتروجين غازاً مخدماً القيمة:  $S_p(\text{N}_2) = 0.03672 \text{ cm}^{-1}/\text{bar}$



الشكل (8): تغير انزياح قمة خط الامتصاص بدلالة الضغط بوجود النتروجين غازاً مخدماً

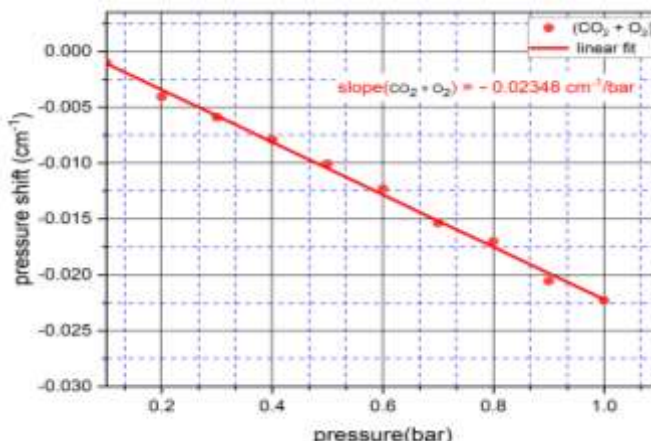
- حالة التصادم مع غاز الأوكسجين ( $\text{CO}_2\text{-O}_2$ ):

بوضوح الشكل (9) انزياح قمة خط الامتصاص وزيادة عرض الخط الطيفي عند منتصف الشدة العظمى FWHM بزيادة الضغط مع ثبات مطال الامتصاص.



الشكل(9): A خطوط الامتصاص المواتقة لقيم للضغط الكلي بوجود الأوكسجين كغاز مخدماً  
B خطوط الامتصاص المواتقة معتابع فوجيت

يبلغ ميل المنحني البياني في الشكل (10) المعبر عن تغير انزياح قمة خط الامتصاص بدلالة الضغط بوجود الأكسجين غازاً مخدماً القيمة:  $S_p(\text{O}_2) = -0.02348 \text{ cm}^{-1}/\text{bar}$



الشكل (10): تغيرات الازاحة بتابعية الضغط بوجود الأكسجين غازاً مخدماً

## 5. مقارنة النتائج:

يبين الجدول (1) قيم معاملات ازاحة الضغط لقمة خط امتصاص جزيء غاز ثاني أوكسيد الكربون عند الطول الموجي 1639.67nm، المحسوبة من خلال دراسة التصادمات ( $\text{CO}_2-\text{CO}_2$ )، ( $\text{CO}_2-\text{N}_2$ )، و ( $\text{O}_2-\text{O}_2$ )، فيلاحظ ان معامل انزياح الضغط لخط امتصاص الجزيء المستهدف يزداد بوجود الغاز المخمد، كما أن معامل انزياح ضغط غاز التتروجين أكبر بالقيمة المطلقة من معامل انزياح ضغط غاز الأكسجين.

الجدول (1) قيم معاملات الازاحة

Buffer gas	Pressure shift coefficient , ( $\text{cm}^{-1}/\text{bar}$ ) $S_p$
$\text{CO}_2$	-0.00737
$\text{O}_2$	-0.02348
$\text{N}_2$	-0.03672

يمكن تفسير ذلك حسب نظرية الطاقة الحركية للغازات واختلاف كتل الجزيئات، فكتلة جزيء الأكسجين أكبر من كتلة جزيء التتروجين الامر الذي يجعل سرعة جزيئات التتروجين أكبر من سرعة جزيئات الأكسجين، فيرتفع الضغط بوجود التتروجين مقارنة بالضغط بوجود الأوكسجين عند ذات الحجم ودرجة الحرارة، لزيادة عدد التصادمات بين الجزيئات الأمر الذي يؤدي لتغير في طاقة السويات المثارة لكل جزيء، فيتغير تواتر الانطلاق وبالتالي يُزاح تواتر الانطلاق المركزي (العدد الموجي المركزي) أي يُزاح موقع قمة خط الامتصاص [2].

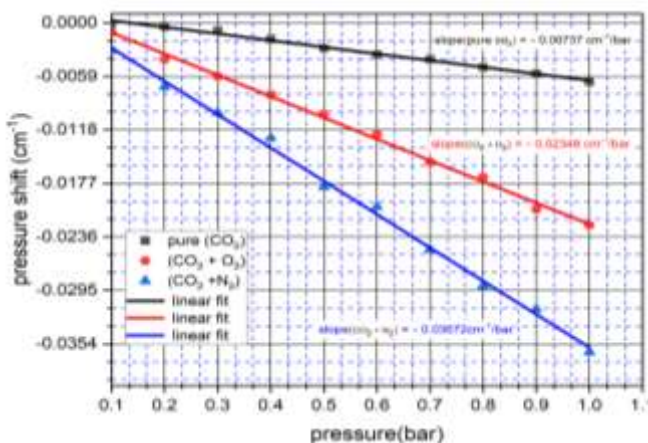
توجز المعادلات (6) تأثير زيادة الضغط (التصادمات) على انزياح قمة خط الامتصاص:

$$\begin{aligned} V_{\text{O}_2} < V_{\text{N}_2} &\iff M_{\text{O}_2} > M_{\text{N}_2} \\ P_{\text{O}_2} < P_{\text{N}_2} &\iff \\ S_{p(\text{CO}_2-\text{O}_2)} < S_{p(\text{CO}_2-\text{N}_2)} &\iff \end{aligned} \tag{6}$$

حيث:

$M$ : الكتلة المولية ( $\text{g.mol}^{-1}$ ),  $v$ : سرعة انتشار الغاز ( $\text{m.s}^{-1}$ ),  $P$ : الضغط (Bar)

كما يوضح الشكل (11) تغيرات الازاحة بدلالة الضغط مع أثر الغاز المحمد على انزياح قمة خط الامتصاص للحالات الثالث السابقة.



الشكل (11): تغيرات الازاحة بدلالة الضغط وأثر الغاز المحمد على انزياح قمة خط الامتصاص

## 6. الاستنتاج:

درس في هذا العمل انزياح قمة خط امتصاص جزيء ثاني أوكسيد الكربون  $\text{CO}_2$  عند الطول الموجي  $1639.67 \text{ nm}$  بدلالة الضغط في حالات التصادم الذاتي أو بوجود غاز محمد، باستخدام مطيافية الامتصاص المباشر، فلوحظ زيادة خطية لانزياح الخط الطيفي بزيادة ضغط الغاز في جميع حالات التصادم، وهذا ما يتواافق مع الأدبيات العلمية. كما حُسبت معاملات الانزياح في حالات التصادم الذاتي أو بوجود غازات النتروجين أو الأوكسجين كغازات محمد، وتبيّن أن معامل انزياح الضغط يزداد بوجود الغاز محمد، خاصة إذا كانت كتلته المولية صغيرة.

كما أثبتت مطيافية الامتصاص المباشر كفاءة عالية لكشف خطوط الامتصاص لغازات متنوعة، وأعطت نتائج دقيقة وسريعة بطريقة سهلة الاستخدام بالرغم من وجود تقنيات طيفية حديثة مثل مطيافية تعديل الطول الموجي، يمكن أن تكون هذه الدراسة مساهمة بسيطة في تطوير قاعدة البيانات العالمية HITRAN [24].

## 7. المراجع:

- [1] G. Durry *et al.*, ‘Pressure-broadening coefficients and line strengths of H<sub>2</sub>O near 1.39μm: application to the in situ sensing of the middle atmosphere with balloonborne diode lasers’ , *Journal of Quantitative Spectroscopy and Radiative Transfer*, vol. 94, no. 3–4, pp. 387–403, Sep. 2005, doi: 10.1016/j.jqsrt.2004.09.033.
- [2] Erich N. Wolf, Pressure broadening and pressure shift of diatomic iodine at 675 nm, PhD thesis ,University of Oregon , Proquest, Umi Dissertation Publishing (1 Sept. 2011) .ISBN-10: 1244103667 ISBN-13: 978-1244103665.
- [3] Wolfgang Demtröder, Laser Spectroscopy Vol. 1: Basic Principles, 4th edition , Kaiserslautern: Springer Berlin, Heidelberg, 2008, DOI: <https://doi.org/10.1007/978-3-540-73418-5>.
- [4] G. Peach, ‘The width of spectral lines’‘ Contemporary Physics, vol. 16, no. 1, pp. 17–34, Jan. Published online: 20 Aug 2006, doi: 10.1080/05107517508228028.
- [5] W. Demtröder, Atoms, Molecules and Photons. in Graduate Texts in Physics. Berlin, Heidelberg: Springer Berlin Heidelberg, 2010. doi: 10.1007/978-3-642-10298-1.
- [6] Wolfgang Demtröder, Laser Spectroscopy, Vol. 2: Experimental Techniques, 4th edition, Kaiserslautern: Springer Berlin, Heidelberg, 2008, DOI <https://doi.org/10.1007/978-3-540-74954-7> .
- [7] Z. Qu, J. A. Nwaboh, G. Li, O. Werhahn, and V. Ebert, ‘Measurements of N<sub>2</sub>, CO<sub>2</sub>, Ar, O<sub>2</sub> and Air Pressure Broadening Coefficients of the HCl P (5) Line in the 1–0 Band Using an Interband Cascade Laser’‘ Appl. Sci., vol. 11, no. 11, p. 5190, Jun. 2021, doi: 10.3390/app11115190.
- [8] H. I. Schiff, G. I. Mackay, and J. Bechara, ‘The use of tunable diode laser absorption spectroscopy for atmospheric measurements’‘ Res. Chem. Intermed., vol. 20, no. 3–5, pp. 525–556, Jan. 1994, doi: 10.1163/156856794X00441.
- [9] C. Liu and L. Xu, ‘Laser absorption spectroscopy for combustion diagnosis in reactive flows: A review’‘ Appl. Spectrosc. Rev., vol. 54, no. 1, pp. 1–44, Jan. 2019, doi: 10.1080/05704928.2018.1448854.
- [10] D. J. Son, ‘Development of a fast methane sensor based on wavelength modulation spectroscopy for exhaust methane emission measurement’‘ University of British Columbia, 2019-10-21, DOI 10.14288/1.0384580.
- [11] G. Durry *et al.*, ‘Pressure-broadening coefficients and line strengths of H<sub>2</sub>O near 1.39μm: application to the in situ sensing of the middle atmosphere with balloonborne diode lasers’‘ J. Quant. Spectrosc. Radiat. Transf., vol. 94, no. 3–4, pp. 387–403, Sep. 2005, doi: 10.1016/j.jqsrt.2004.09.033.
- [12] Anand Ramanathan, Jianping Mao, Graham R. Allan, Haris Riris, Clark J. Weaver, William E. Hasselbrack, Edward V. Browell, and James B. Abshire, "Spectroscopic measurements of a CO<sub>2</sub> absorption line in an open vertical path using an airborne lidar" ,APPLIED PHYSICS LETTERS, 2013. Related DOI: <https://doi.org/10.1063/1.4832616>.
- [13] O. M. Lyulin, T. M. Petrova, A. M. Solodov, A. A. Solodov, and V. I. Perevalov, ‘CO<sub>2</sub>-broadening and shift coefficients in the v<sub>3</sub> and v 2 + (v 4 + v 5) + 0 bands of acetylene’‘ J. Quant. Spectrosc. Radiat. Transf., vol. 208, pp. 96–100, Mar. 2018, doi: 10.1016/j.jqsrt.2017.12.029.
- [14] R. Hashemi, A. Predoi-Cross, A. S. Dudaryonok, N. N. Lavrentieva, A. C. Vandaele, and J. Vander Auwera, ‘CO<sub>2</sub> pressure broadening and shift coefficients for the 2–0 band of 12C<sub>16</sub>O’‘ J. Mol. Spectrosc., vol. 326, pp. 60–72, Aug. 2016, doi: 10.1016/j.jms.2016.02.014.
- [15] T. GiesenI, R. Schieder, G. Wintewisser, and K. M. T. Yamada, "Precise Measurements of Pressure Broadening and Shift for Several H<sub>2</sub>O Lines in the v<sub>2</sub> Band by Argon, Nitrogen, Oxygen, and Air," journal of molecular spectroscopy", Volume 153, Issues 1–2, May–June 1992, [https://doi.org/10.1016/0022-2852\(92\)90485-7](https://doi.org/10.1016/0022-2852(92)90485-7).

- [16] N. Schmucker, C. Trojan, T. Giesen, R. Schieder, K. M. T. Yamada, and G. Winnewisser, 'Pressure Broadening and Shift of Some H<sub>2</sub>O Lines in the n2 Band: Revisited', "journal of molecular spectroscopy", Volume 184, Issue 2, August 1997, <https://doi.org/10.1006/jmsp.1997.7329>.
- [17] W. C. Swann and S. L. Gilbert, 'Line centers, pressure shift, and pressure broadening of 1530–1560 nm hydrogen cyanide wavelength calibration lines', J. Opt. Soc. Am. B, vol. 22, no. 8, p. 1749, Aug. 2005, doi: 10.1364/JOSAB.22.001749.
- [18] A. V. Domanskaya, M. O. Bulanin, K. Kerl, and C. Maul, 'Pressure broadening and shifting parameters for the spectral lines in the fundamental vibration–rotation bands of HBr and HI in mixtures with rare gases', Journal of Molecular Spectroscopy, vol. 243, no. 2, pp. 155–161, Jun. 2007, doi: 10.1016/j.jms.2007.02.015.
- [19] Anand Ramanathan, Jianping Mao, Graham R. Allan, Haris Riris, Clark J. Weaver, William E. Hasselbrack, Edward V. Browell, and James B. Abshire, "Spectroscopic measurements of a CO<sub>2</sub> absorption line in an open vertical path using an airborne lidar" ,applied physics letters, 2013, Related DOI: <https://doi.org/10.1063/1.4832616>.
- [20] R. Hashemi, A. Predoi-Cross, A. S. Dudaryonok, N. N. Lavrentieva, A. C. Vandaele, and J. Vander Auwera, 'CO<sub>2</sub> pressure broadening and shift coefficients for the 2–0 band of 12C16O', Journal of Molecular Spectroscopy, vol. 326, pp. 60–72, Aug. 2016, doi: 10.1016/j.jms.2016.02.014.
- [21] O. M. Lyulin, T. M. Petrova, A. M. Solodov, A. A. Solodov, and V. I. Perevalov, 'CO<sub>2</sub>-broadening and shift coefficients in the v<sub>3</sub> and v<sub>2</sub> + (v<sub>4</sub> + v<sub>5</sub>) + 0 bands of acetylene', Journal of Quantitative Spectroscopy and Radiative Transfer, vol. 208, pp. 96–100, Mar. 2018, doi: 10.1016/j.jqsrt.2017.12.029.
- [22] Dongdong Chen, L. Shi, P. Xu, R. Wang, and C. Zhang, 'Buffer-gas pressure broadening at high J values in the v<sub>3</sub> band of CO<sub>2</sub> measured with tunable diode laser absorption spectroscopy', Journal of Molecular Spectroscopy, vol. 377, p. 111429, Mar. 2021, doi: 10.1016/j.jms.2021.111429.
- [23] Monjed Essa, SINAN ALJALALI, 'The effect of pressure on the spectral line width of carbon dioxide absorption at a specific wavelength', Higher Institute for Laser Research and Applications, Damascus University,14-1-2024.
- [24] HITRAN on line, [hitran.org](http://hitran.org).